

# Создание и распад докритических зародышей в твердом растворе

П. М. Валов, В. И. Лейман<sup>1)</sup>, О. Ю. Деркачева, В. М. Максимов

Санкт-Петербургский государственный технологический университет растительных полимеров  
198095 Санкт-Петербург, Россия

Поступила в редакцию 6 апреля 2010 г.

Обнаружен распад “докритических” зародышей в твердом растворе при изучении кинетики нуклеации фазы CuCl в стекле. После создания “закритических” зародышей при 500 °C со средним радиусом  $R = 1.1$  нм резкий подъем температуры до 650 °C превращает большинство созданных при первом отжиге зародышей в “докритические”, что приводит за 5 мин к распаду 80% зародышей, в то же время оставшиеся 20% зародышей вырастают до 2.4 нм. Их рост обеспечивает увеличение скорости роста фазы CuCl в 6 раз по сравнению с обычным отжигом при 650 °C. Кинетические зависимости параметров нуклеации: количества фазы, среднего радиуса и концентрации частиц определялись по спектрам собственного поглощения нанокристаллов CuCl. Получена оценка для величины критического радиуса нанорасплава CuCl при 650 °C (1.3 нм) и теплоты испарения молекул фазы CuCl в стекле (13 кДж/моль). Показано, что многостадийный отжиг позволяет не только управлять параметрами частиц новой фазы, но и определять критические параметры начальной стадии нуклеации.

Критический радиус  $r_{cr}$  частиц новой фазы при температуре  $T$  определяется пересыщением  $S = c_1/c_\infty$ :

$$r_{cr} = 2\sigma\omega/k_B T \ln S, \quad (1)$$

где  $c_1$  – концентрация молекул растворенного вещества,  $c_\infty$  – концентрация молекул насыщенного пара новой фазы над плоской поверхностью частицы,  $\sigma$  – коэффициент поверхностного натяжения частицы новой фазы,  $\omega$  – объем на одну молекулу в частице.

Пусть в образце твердого раствора при  $T = T_1$  сформировано распределение частиц новой фазы со средним радиусом  $R_1 > r_{cr}(T_1)$  за интервал времени, при котором пересыщение практически не меняется. Повысим температуру образца скачком от  $T_1$  до  $T_2$ . Вследствие инерционности процесса диффузии в момент скачка температуры  $c_1$  можно считать неизменной, а пересыщение  $S$  скачком уменьшится за счет скачкообразного роста  $c_\infty(T_2)$  в соответствии с уравнением Клапейрона–Клаузиуса. Эту концентрацию (пренебрегая зависимостью  $L$  от температуры) можно представить в виде

$$c_\infty(T_2) = c_\infty(T_1) \cdot \frac{T_1}{T_2} \exp\left(\frac{L}{R_0}\left(\frac{1}{T_1} - \frac{1}{T_2}\right)\right), \quad (2)$$

где  $L$  – мольная теплота испарения,  $R_0$  – газовая постоянная. Уменьшение пересыщения  $S$ , согласно (1), приведет к росту  $r_{cr}$  и тогда большинство зародышей новой фазы станут докритическими и начнут растворяться. Часть зародышей размером  $r > r_{cr2}$  при  $T_2$

продолжает расти. Несмотря на распад значительной части частиц, можно получить большую концентрацию и количество новой фазы, чем при обычном отжиге при  $T_2$ . Это обусловлено тем, что при низкой температуре можно сформировать во много раз большую концентрацию зародышей.

Цель работы: исследовать устойчивость зародышей новой фазы при температуре, более высокой, чем та температура, при которой они были созданы, и изучить кинетику нуклеации в твердом растворе с ранее созданными зародышами.

Объектом исследования был твердый раствор галогенида меди в стеклянной матрице, прозрачной в области собственного поглощения кристаллов CuCl. При отжиге образцов выше 500 °C в результате диффузионных процессов образуются частицы фазы CuCl в виде нанорасплава. Его кристаллизация при охлаждении образца приводит к появлению оптического поглощения нанокристаллов (НК) CuCl в области прозрачности стекла [1, 2]. Параметры НК CuCl определялись по спектрам собственного поглощения при комнатной температуре [3–6]. Начальная температура отжига  $T_1$  была равна 500 °C. Температура второго отжига образцов  $T_2$  была 650 °C.

На рис.1 представлен ход изменения спектров поглощения НК CuCl в процессе двухстадийной температурной обработки. За 3 ч при 500 °C были созданы закритические зародыши CuCl со средним радиусом  $R_1 = 1.1$  нм (кривая 1). Затем отжиг был продолжен, но уже при  $T_2 = 650$  °C (кривые 2–9).

Из рис.1 видно, что уже за первые 10 с (кривая 2) спектр поглощения сдвинулся к меньшим энергиям по отношению к кривой 1 вследствие роста  $R$ . По-

<sup>1)</sup> e-mail: leiman@inbox.ru

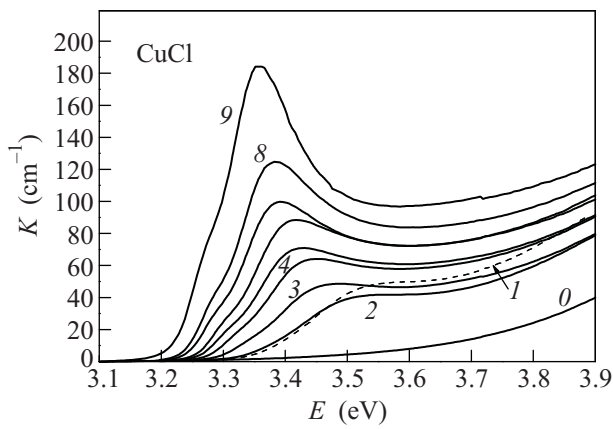


Рис.1. Спектры поглощения НК CuCl в стекле после ступенчатого отжига в течении времени  $t$ : 0 мин (0), 500 °C, 3 ч (1), затем 650 °C: 10 с (2), 30 с (3) -:- 817 мин (9)

следующие кривые для больших  $t$  быстро смещаются к меньшим энергиям, то есть продолжается рост размера зародышей CuCl.

Из экспериментальных спектров поглощения НК CuCl определялись энергия  $Z_{1,2}$  экситона  $E_{ex}$  и коэффициент поглощения при зона-зонных переходах  $K_{bb}$ . Затем строились кинетические кривые нарастания  $K_{bb}$ , увеличения среднего радиуса  $R$  и изменения концентрации  $N$  частиц CuCl [4–6]. Коэффициент поглощения  $K_{bb}$  пропорционален количеству выделившейся фазы CuCl, а концентрация кластеров  $N$  вычислялась в относительных единицах путем деления  $K_{bb}$  на  $R_3$ .

На рис.2а приведена зависимость  $K_{bb}$  от времени нуклеации при 650 °C без предварительного создания зародышей (кривая 1) и с их предварительным созданием при 500 °C (кривая 2). Во втором случае равновесное количество фазы CuCl достигается значительно раньше (кривая 2), а количество фазы при выходе на третью стадию нуклеации (при больших  $t$ ) остается таким же, как и при обычной нуклеации (кривая 1).

Как следует из рис.2б (кривая 1) радиус наблюдаемых начальных зародышей при 650 °C не менее 2.5 нм. При предварительном создании зародышей при 500 °C их средний радиус  $R_1 = 1.1$  нм (кривая 2). И отжиг при 650 °C приводит к быстрому росту радиуса этих зародышей. Затем скорость роста замедляется из-за уменьшения  $c_1$ .

Изменение концентрации  $N$  частиц CuCl при обоих типах нуклеации показано на рис.3. При обычной нуклеации при 650 °C вначале  $N$  растет (кривая 1), затем вследствие уменьшения пересыщения число зародышей стабилизируется.

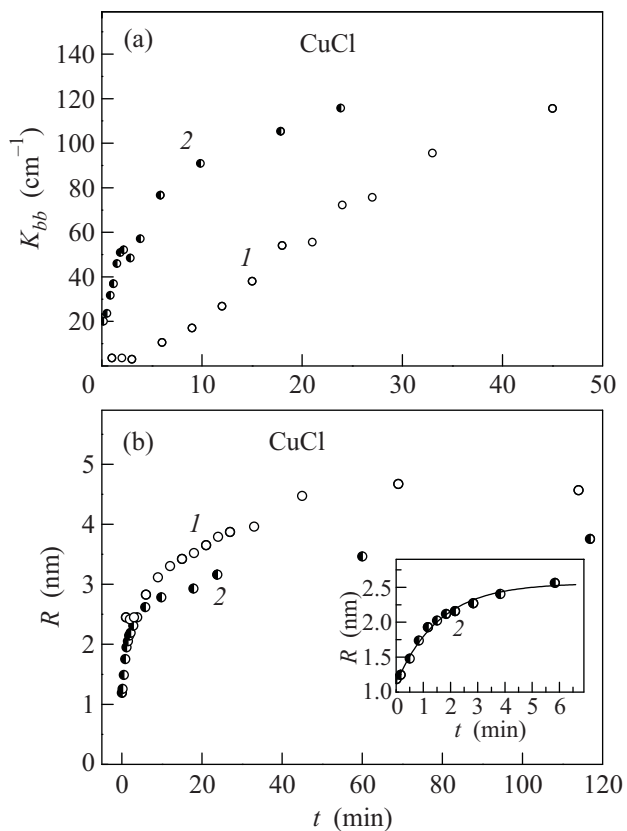


Рис.2. Кинетика нуклеации частиц CuCl: (а) нарастание количества новой фазы при 650 °C (кривая 1) и после предварительного создания кластеров при 500 °C (кривая 2); (б) кинетика роста среднего радиуса частиц при нуклеации при 650 °C (кривая 1) и после предварительного создания кластеров при 500 °C (кривая 2)

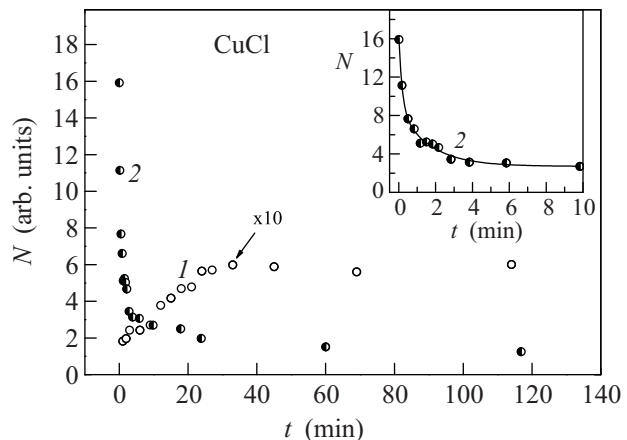


Рис.3. Изменение концентрации частиц CuCl при нуклеации при 650 °C (кривая 1, умноженная на 10) и в случае предварительного создания зародышами (кривая 2)

Совершенно иначе происходит нуклеация в образце с предварительно созданными зародышами CuCl.

Вначале наблюдается быстрый спад  $N$  (кривая 2, см. вставку). Спад прекращается через 5 мин, а число частиц при этом уменьшается в 5 раз. Это свидетельствует о том, что большинство созданных при  $500^{\circ}\text{C}$  зародышей становится докритическим для температуры  $650^{\circ}\text{C}$ . Ранее показано, что полуширина распределения по радиусу зародышей  $\text{CuCl}$ , созданных при  $500^{\circ}\text{C}$ , составляет  $0.3R_1$  [6], тогда уменьшение в 5 раз концентрации зародышей  $\text{CuCl}$  при повторном отжиге при  $650^{\circ}\text{C}$  свидетельствует о том, что критический радиус  $r_{cr2}$  зародышей  $\text{CuCl}$  при  $650^{\circ}\text{C}$  превышает средний радиус  $R_1$  и составляет не менее 1.3 нм.

За эти же 5 мин зародыши с  $r \geq 1.3$  нм (закритические при  $650^{\circ}\text{C}$ ) дорастают до среднего радиуса  $R_2 = 2.4$  нм (кривая 2, рис.2б), как и при одностадийном отжиге при  $650^{\circ}\text{C}$  в начале нуклеации (кривая 1, рис.2б). При этом рост объема зародышей с  $r > 1.3$  нм и общая масса новой фазы продолжают быстро расти (рис.2а, кривая 2).

По соотношениям (1) и (2) можно оценить теплоту испарения нанорасплава  $\text{CuCl}$  в стекле. По нашим оценкам, полученным исходя из исследований нуклеации при  $T_1 = 500^{\circ}\text{C}$  в течение 3 ч, пересыщение  $S_1 = 3.3$ , а критический радиус  $r_{cr1} = 0.6$  нм. Если принять, что при  $650^{\circ}\text{C}$   $r_{cr2} = 1.3$  нм, то  $S_2 = 1.6$ . Тогда из (2) получаем, что теплота испарения для  $\text{CuCl}$  в стекле  $L = 13$  кДж/моль.

Таким образом, эксперименты с двойным отжигом позволяют исследовать начальную флуктуационную стадию нуклеации в твердых растворах, которая обычно недоступна для прямого изучения из-за малого количества образовавшейся фазы. В данном эксперименте температура второго отжига намного превышает первую, что приводит к резкому падению концентрации зародышей. Снижая температуру второго отжига можно сохранить большую часть зародышей, образованных на первой стадии, и увеличить их радиус.

Нагрев новой фазы можно производить лазерным светом или другими излучениями. Порядок нагрева, то есть температуры  $T_1$  и  $T_2$  можно менять местами. Эти или другие приемы позволяют управлять кинетикой нуклеации, что представляет интерес для материаловедения, особенно для слаболегированных сплавов.

1. В. В. Голубков, А. И. Екимов, А. А. Онущенко и др., ФХС **7**, 397 (1981).
2. В. В. Голубков, В. А. Цехомский, ФХС **12**, 206 (1986).
3. П. М. Валов, В. И. Лейман, Письма в ЖЭТФ **66**, 481 (1997).
4. П. М. Валов, В. И. Лейман, Опт. и спектр. **103**, 603 (2007).
5. П. М. Валов, В. И. Лейман, ФТТ **47**, 2148 (2005).
6. П. М. Валов, В. И. Лейман, ФТТ **51**, 1607 (2009).